

**Интерференция света** — сложение в пространстве двух или нескольких когерентных световых волн, при котором в разных его точках получается *усиление* или *ослабление* амплитуды результирующей волны.

Пусть в данной точке  $M$  две монохроматические волны с циклической частотой  $\omega$  возбуждают два колебания, причем до точки  $M$  одна волна прошла в среде с показателем преломления  $n_1$  путь  $s_1$  с фазовой скоростью  $v_1$ , а вторая — в среде  $n_2$  путь  $s_2$  с фазовой скоростью  $v_2$ :

$$x_1 = A_1 \cos \omega \left( t - \frac{s_1}{v_1} \right) \quad x_2 = A_2 \cos \omega \left( t - \frac{s_2}{v_2} \right)$$

Амплитуда результирующего колебания:  $A^2 = A_1^2 + A_2^2 + 2A_1A_2 \cos \delta$ .

Интенсивность результирующей волны ( $I \sim A^2$ ):

$$I = I_1 + I_2 + 2\sqrt{I_1I_2} \cos \delta$$

Разность фаз  $\delta$  колебаний, возбуждаемых в точке  $M$ , равна

$$\delta = \omega \left( \frac{s_2}{v_2} - \frac{s_1}{v_1} \right) = \omega \left( \frac{s_2}{c/n_2} - \frac{s_1}{c/n_1} \right) = \frac{\omega}{c} (s_2 n_2 - s_1 n_1) = \frac{2\pi\nu}{c} (L_2 - L_1) = \frac{2\pi}{\lambda_0} \Delta$$

(Использовали:  $v = c/n$ ;  $\omega = 2\pi\nu$ ;  $c/\nu = \lambda_0$  — длина волны в вакууме).

Произведение геометрической длины пути  $s$  световой волны в данной среде на показатель преломления этой среды  $n$  называется оптической длиной пути  $L = s \cdot n$ .

Разность  $\Delta = L_2 - L_1 = s_2 n_2 - s_1 n_1$  оптических длин проходимых волнами путей называется оптической разностью хода.

Условие интерференционного максимума:

Если оптическая разность хода  $\Delta$  равна целому числу длин волн в вакууме (четному числу полуволен)

$$\Delta = \pm m \lambda_0 = \pm 2m \frac{\lambda_0}{2} \quad (m = 0, 1, 2, \dots),$$

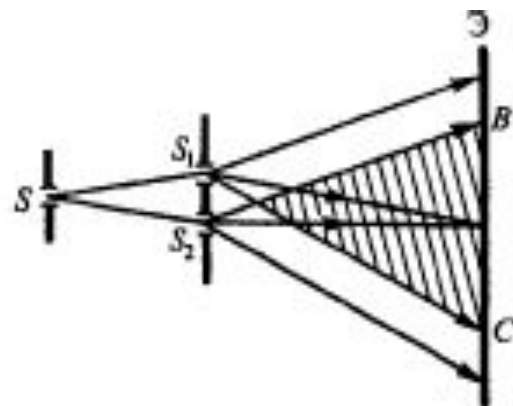
то  $\delta = \pm 2m\pi$  и колебания, возбуждаемые в точке  $M$ , будут происходить в одинаковой фазе.

Условие интерференционного минимума.

Если оптическая разность хода  $\Delta$  равна нечетному числу полуволен

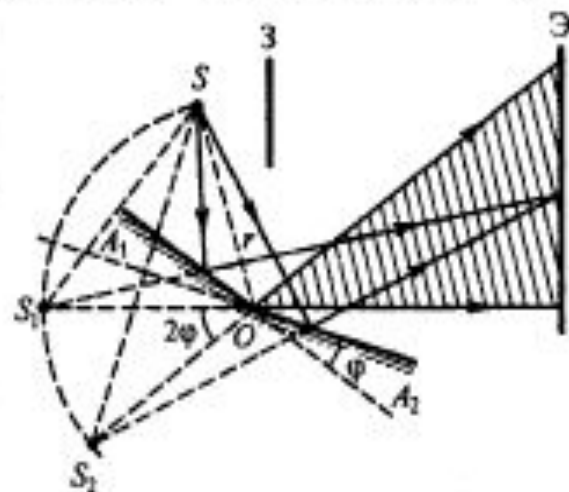
$$\Delta = \pm (2m + 1) \frac{\lambda_0}{2} \quad (m = 0, 1, 2, \dots),$$

то  $\delta = \pm (2m + 1)\pi$  и колебания, возбуждаемые в точке  $M$ , будут

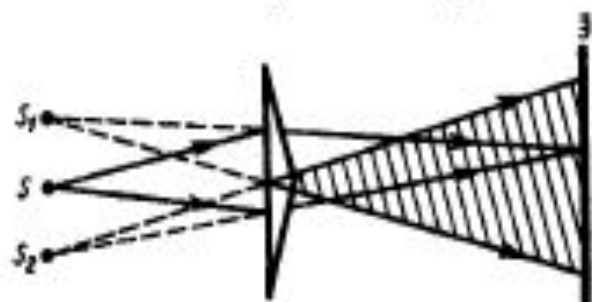


1. **Метод Юнга.** Свет от ярко освещенной щели  $S$  падает на две щели  $S_1$  и  $S_2$ , играющие роль когерентных источников. Интерференционная картина  $BC$  наблюдается на экране  $\mathcal{E}$ .

2. **Зеркала Френеля.** Свет от источника  $S$  падает расходящимся пучком на два плоских зеркала  $A_1O$  и  $A_2O$ , расположенных под малым углом  $\varphi$ . Роль когерентных источников играют мнимые  $S_1$  и  $S_2$  изображения источника  $S$ . Интерференционная картина наблюдается на экране  $\mathcal{E}$ , защищенном от прямого попадания света заслонкой  $\mathcal{Z}$ .

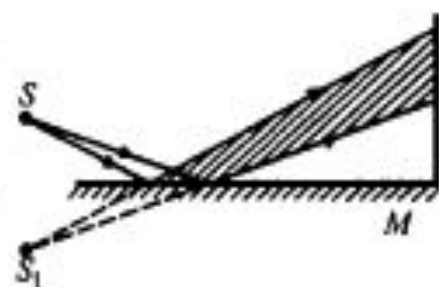


3. **Бипризма Френеля.** Свет от источника  $S$

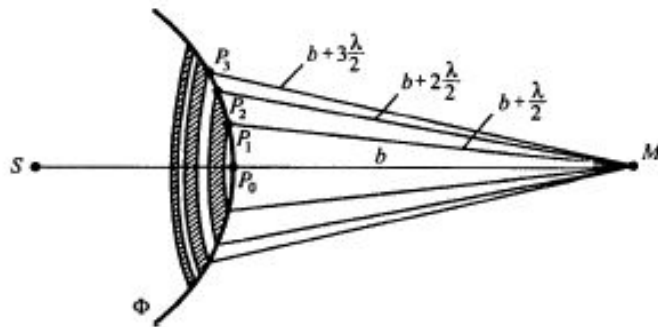


преломляется в призмах, в результате чего за бипризмой распространяются световые лучи, как бы исходящие из мнимых когерентных источников  $S_1$  и  $S_2$ .

4. **Зеркало Ллойда.** Точечный источник  $S$  находится близко к поверхности плоского зеркала  $M$ . Когерентными источниками служат сам источник  $S$  и его мнимое изображение  $S_1$ .



Рассмотрим в произвольной точке  $M$  амплитуду световой волны, распространяющейся в однородной среде из точечного источника  $S$ . Согласно принципу Гюйгенса-Френеля, заменим действие источника  $S$  действием воображаемых источников, расположенных на вспомогательной поверхности  $\Phi$ , являющейся поверхностью фронта волны, идущей из  $S$  (поверхность сферы с центром  $S$ ). Разобьем волновую поверхность  $\Phi$  на кольцевые зоны такого размера, чтобы расстояния от краев зоны до  $M$  отличались на  $\lambda/2$ . Тогда, обозначив амплитуды колебаний от 1-й, 2-й, ...  $m$ -й зон через  $A_1, A_2, \dots, A_m$  (при этом  $A_1 > A_2 > A_3 > \dots$ ), получим амплитуду результирующего колебания:  $A = A_1 - A_2 + A_3 - A_4 + \dots$



При таком разбиении волновой поверхности на зоны оказывается, что амплитуда колебания  $A_m$  от некоторой  $m$ -й зоны Френеля равна среднему арифметическому от амплитуд примыкающих к ней зон

$$A_m = \frac{A_{m-1} + A_{m+1}}{2}$$

Тогда результирующая амплитуда в точке  $M$  будет

$$A = \frac{A_1}{2} + \left( \frac{A_1}{2} - A_2 + \frac{A_3}{2} \right) + \left( \frac{A_3}{2} - A_4 + \frac{A_5}{2} \right) + \dots = \frac{A_1}{2} \pm \frac{A_m}{2} = \left( \xrightarrow{m \gg 1} \right) = \frac{A_1}{2}$$

т.к. при  $m \gg 1$   $A_1 \gg A_m$ . Площади всех зон Френеля равны  $\sigma = \frac{\pi ab \lambda}{a + b}$ ,

где  $a$  — длина отрезка  $SP_0$  — радиус сферы  $\Phi$ ,  $b$  — длина отрезка  $P_0M$ .

Радиус внешней границы  $m$ -й зоны Френеля  $r_m = \sqrt{\frac{ab}{a+b} m \lambda}$ . При

$a = b = 10$  см и  $\lambda = 500$  нм радиус первой зоны  $r_1 = 0,158$  мм. Следовательно, распространение света от  $S$  к  $M$  происходит так, будто световой поток распространяется внутри очень узкого канала вдоль  $SM$ , т.е. прямолинейно.

Таким образом, принцип Гюйгенса-Френеля позволяет объяснить прямолинейное распространение света в однородной среде.

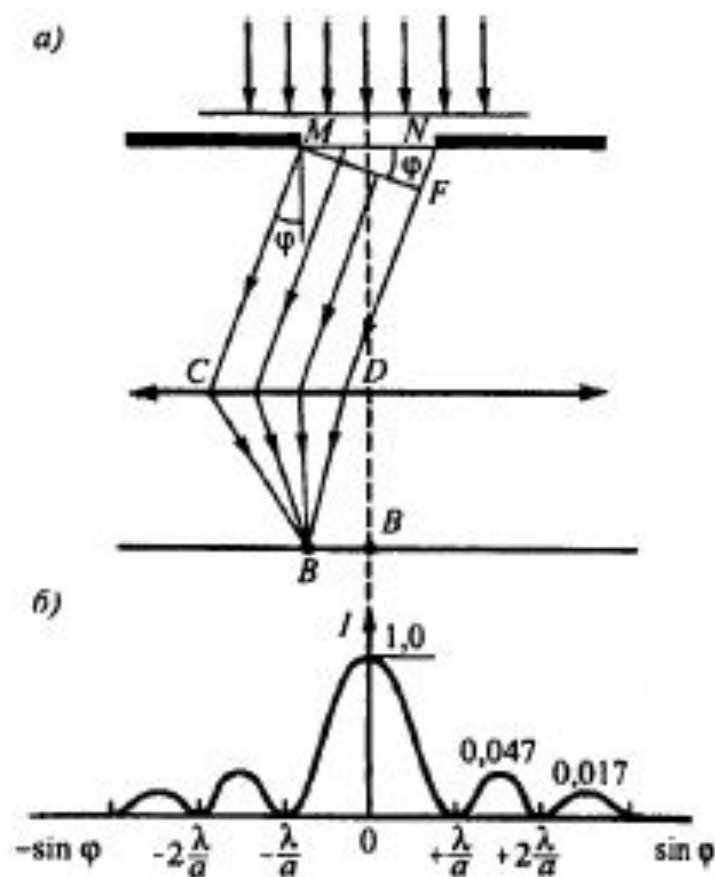
## 20. Дифракция в параллельных лучах (Дифракция Фраунгофера).

Дифракция Фраунгофера наблюдается в том случае, когда источник света и точка наблюдения бесконечно удалены от препятствия, вызывающего дифракцию. Параллельный пучок лучей обычно создают, помещая точечный источник света в фокусе собирающей линзы. Дифракционную картину с помощью второй собирающей линзы, установленной за препятствием, фокусируют на экран.

Рассмотрим дифракцию Фраунгофера плоской монохроматической волны на одной бесконечно длинной щели шириной  $a = MN$ . Оптическая разность хода между крайними лучами  $MC$  и  $ND$  (см. рисунок):

$$\Delta = NF = a \sin \varphi$$

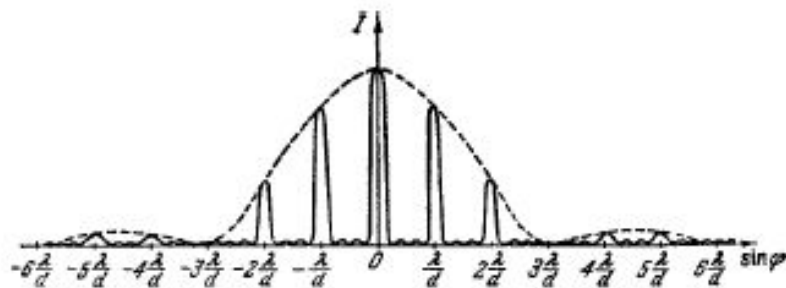
Разобьем открытую часть волновой поверхности  $MN$  на зоны Френеля, параллельные ребру  $M$  щели. Ширина каждой зоны выбирается так, чтобы разность хода от краев этих зон была равна  $\lambda/2$ , поэтому на ширине щели уместится



В общем случае, если дифракционная решетка состоит из  $N$  щелей, то:

- **условие главных максимумов:**  $d \sin \varphi = \pm m \lambda$  ( $m = 1, 2, 3, \dots$ )
- **условие главных минимумов:**  $a \sin \varphi = \pm m \lambda$  ( $m = 1, 2, 3, \dots$ )
- **между двумя главными максимумами** располагается  $N - 1$  **дополнительных минимумов**, разделенных вторичными максимумами, создающими слабый фон. **Условие дополнительных минимумов:**  $d \sin \varphi = \pm m' \lambda / N$ , (где  $m'$  может принимать все целочисленные значения, кроме  $0, N, 2N, \dots$  при которых данное условие переходит в условие главных максимумов).

**Амплитуда главного максимума** есть сумма амплитуд колебаний от каждой щели  $A_{\max} = NA_1$ . Поэтому, **интенсивность главного максимума** в  $N^2$  раз больше интенсивности  $I_1$ , создаваемой одной щелью в направлении главного максимума:  $I_{\max} = N^2 I_1$ .



Например, на рисунке представлена дифракционная картина для  $N = 4$ . Пунктирная кривая изображает интенсивность от одной щели, умноженную на  $N^2$ .

**Положение главных максимумов зависит от длины волны  $\lambda$** , поэтому при пропускании через решетку белого света **все максимумы**, кроме

центрального ( $m = 0$ ), **разложатся в спектр**, фиолетовая область которого будет обращена к центру дифракционной картины, красная — наружу. Поэтому дифракционная решетка может быть использована как **спектральный прибор** для разложения света в спектр и измерения длин волн.

**Число главных максимумов**, даваемое дифракционной решеткой:

$$m \leq \frac{d}{\lambda} \quad (\text{поскольку } |\sin \varphi| \leq 1).$$

$m =$	-2	-1	0	+1	+2
цвет	к	ф	б	ф	к